

# Méthodes Numériques

## Cours 8 :

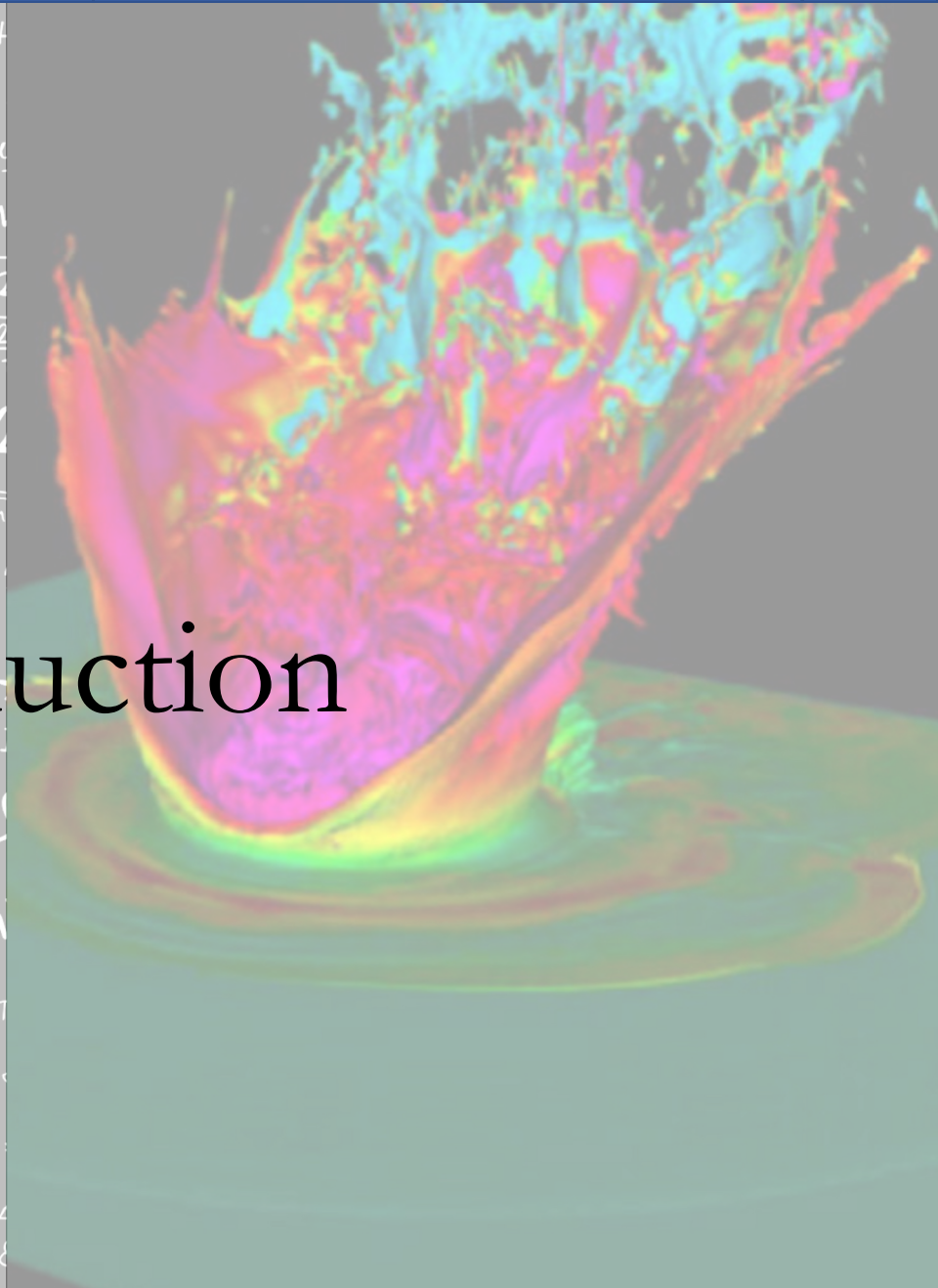
# Optimisation des méthodes numériques

Dr. Barbara PERRI

[barbara.perri@universite-paris-saclay.fr](mailto:barbara.perri@universite-paris-saclay.fr)

$$\begin{aligned}
 & v_2 \tan \theta_B = \frac{w_2}{w_1} = w_{21} \\
 & M_e = \sigma T^4 \\
 & \phi_e = \frac{L}{4\pi r^2} \\
 & E = h\nu \\
 & U = \frac{W_{AB}}{|E_{PA} - E_{PB}|} \\
 & \Phi_E = \frac{E_c}{r} \\
 & m = N \cdot m_0 \\
 & l_t = l_0(1 + d\Delta t) \\
 & I = \frac{U_e}{R + R_i} \\
 & R = \rho \frac{l}{S} \\
 & E = mc^2 \\
 & \vec{S} = \frac{1}{\mu_0} (\vec{E} \times \vec{B}) \\
 & E = \hbar k \\
 & f_0 = \frac{1}{2\pi \sqrt{LC}} \\
 & \vec{H} \cdot d\vec{l} = \oint (\vec{J} + \frac{\partial \vec{D}}{\partial t}) \cdot d\vec{S} \\
 & \vec{E} \cdot d\vec{l} = - \oint \frac{\partial \vec{B}}{\partial t} \cdot d\vec{S} \\
 & \vec{H} = \frac{1}{\mu_0} \sum \vec{I} \\
 & \rho = \frac{\vec{F}}{\Delta S} = \frac{m \Delta \vec{v}}{\Delta S \Delta t} \\
 & f' = \frac{v_a \cdot v_b}{(v_a - 1)(v_b - v_a)} \\
 & \nabla \times \left( -\frac{\partial \vec{B}}{\partial t} \right) = -\frac{\partial}{\partial t} (\text{rot } \vec{B}) = -\mu_0 \frac{\partial}{\partial t} \left( \frac{\partial \vec{B}}{\partial t} \right) = \dots
 \end{aligned}$$

# Introduction



# Plan de l'UE

## Idée générale :

Au premier semestre, on va introduire les notions de base, et s'intéresser en détails à une méthode numérique précise

Tous les jeudi matin (8h45-12h45) au bâtiment 625

21 Novembre : Cours 1 + Cours 2

4 Décembre : Cours 3 + TP

5 Décembre : Cours 4 + TP

12 Décembre : Cours 5 + TP

19 Décembre : Cours 6 + TP

9 Janvier : Cours 7 + TP

16 Janvier : **Cours 8** + TP

23 Janvier : TP

30 Janvier : **Examen**

## Modalités d'évaluation :

TPs + examen oral (question de cours + exercice)

# Résumé des méthodes numériques

Les méthodes numériques permettent de passer d'un problème mathématique à un problème numérique, de telle sorte que la solution numérique soit physique

Il existe de nombreuses méthodes  
(différences/volumes/éléments finis, méthodes spectrales, etc.)

Dans ce cours, nous avons vu :

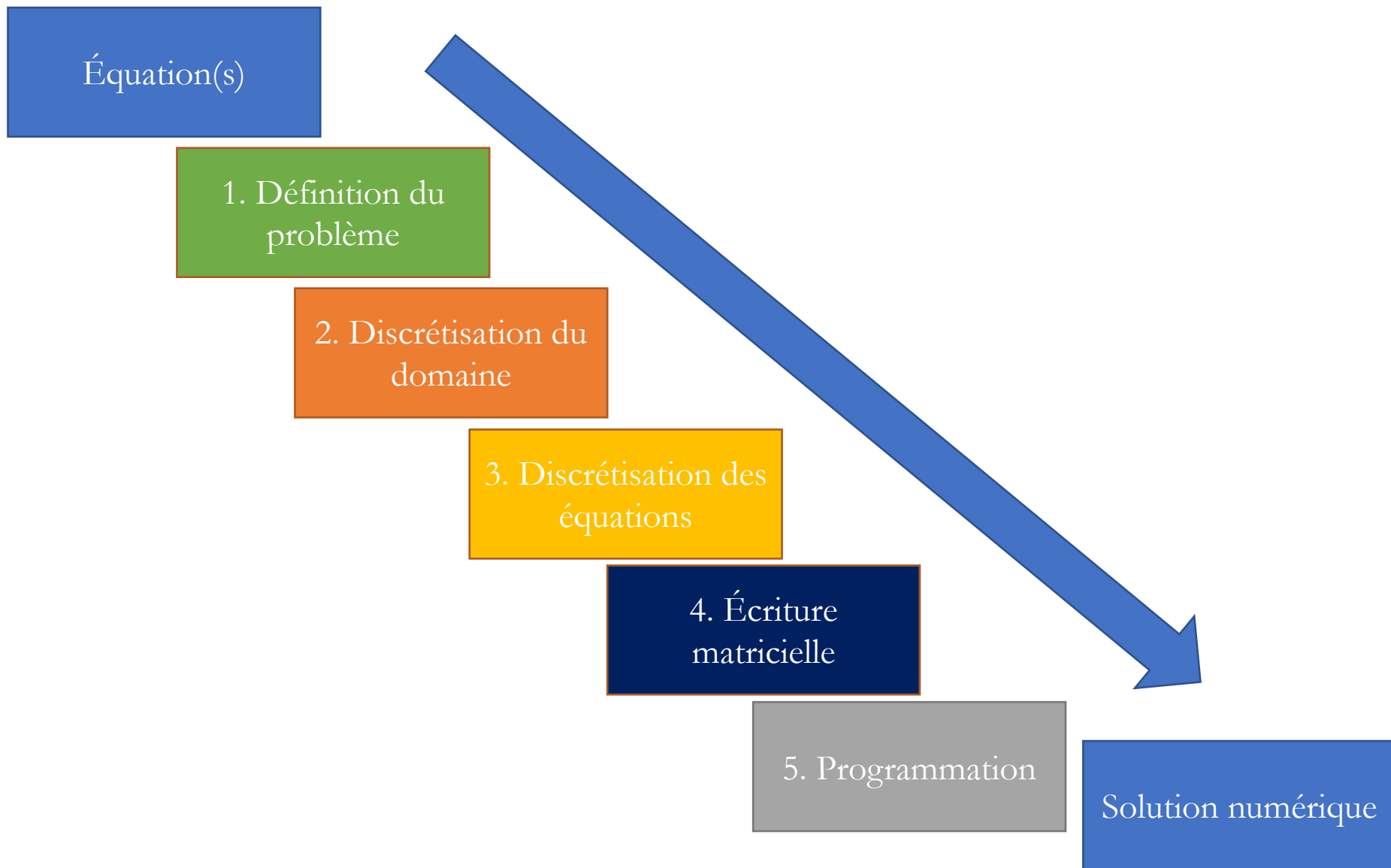
## Équations différentielles ordinaires (EDO)

Méthode de Newton  
Interpolation par Polynôme de Lagrange  
Méthodes de Runge-Kutta

## Équations aux dérivées partielles (EDP)

Méthode des différences finies  
→ Par la tangente  
→ Par les développements limités  
→ Par le polynôme de Lagrange

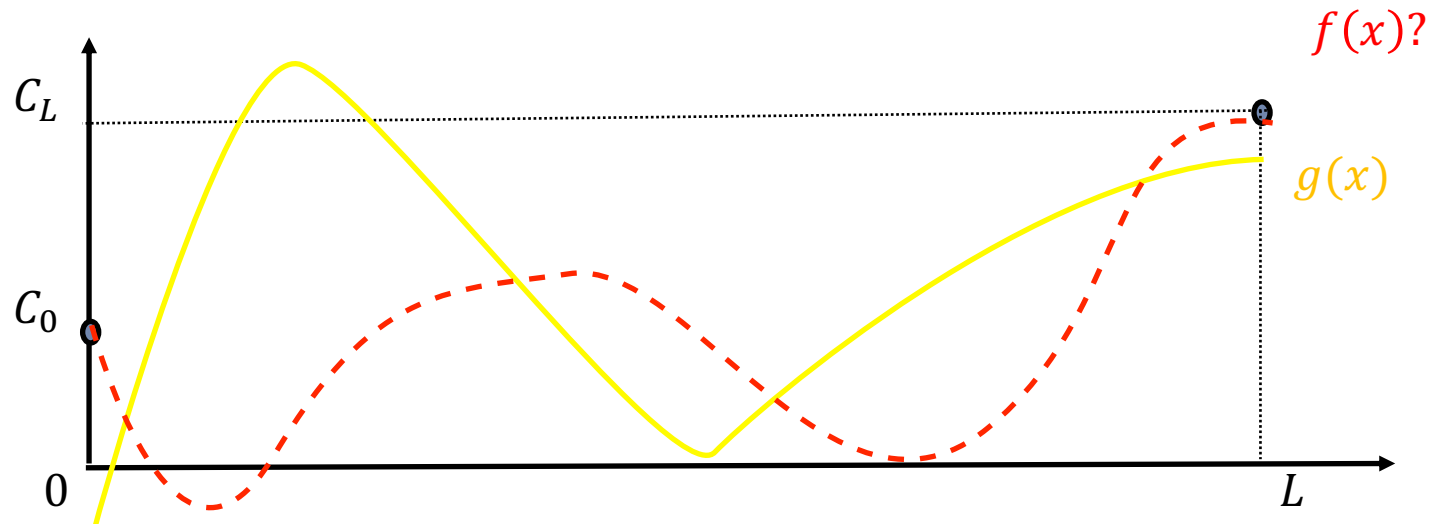
# Cycle des méthodes numériques



# Cycle des méthodes numériques (I)

La première étape consiste à **définir le problème** :

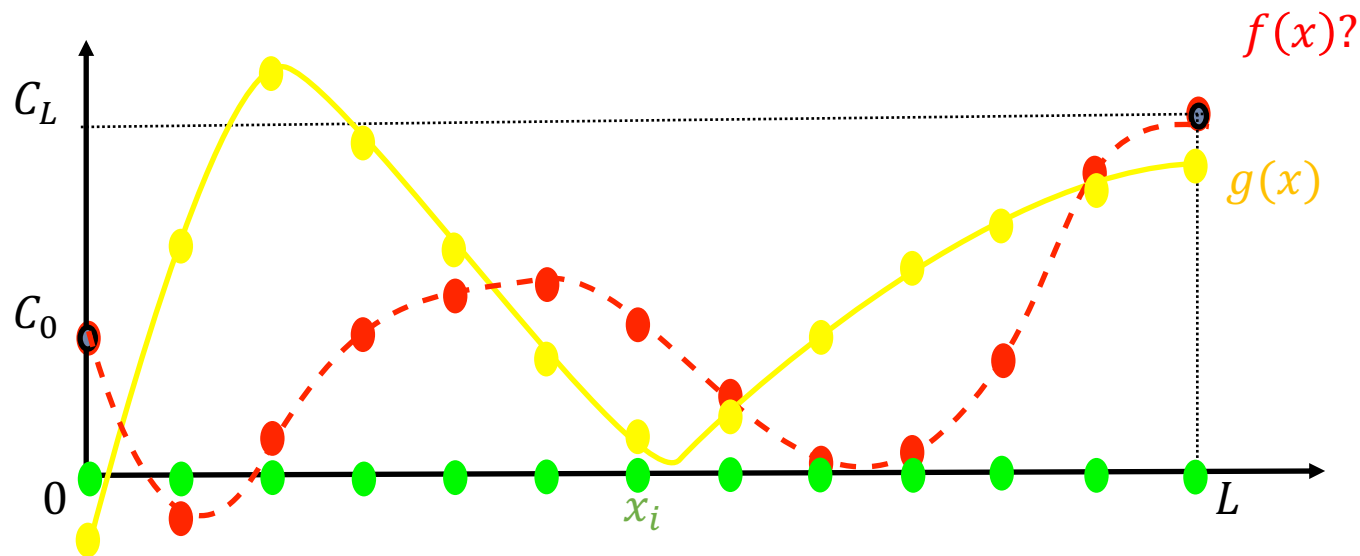
- Équation,
- Inconnue,
- Domaine,
- Conditions aux limites.



# Cycle des méthodes numériques (II)

La deuxième étape consiste à **discrétiser le domaine** :

- Nombre de points,
- Pas d'espace (type de maillage),
- Numérotation,
- Équivalence discret/continu.





# Cycle des méthodes numériques (III)

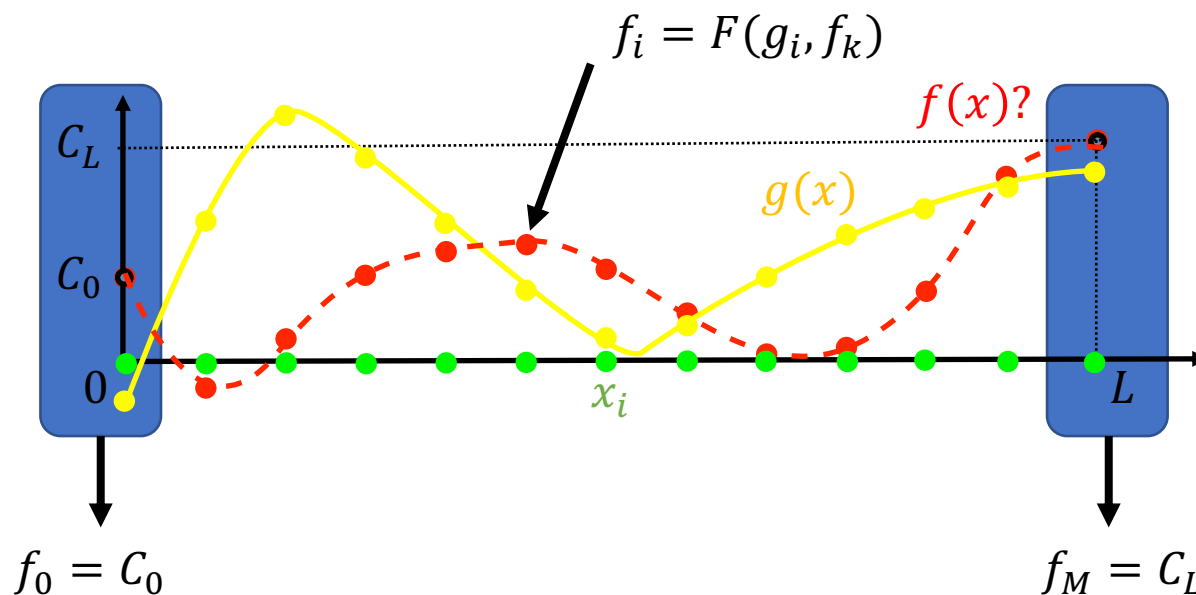
La troisième étape consiste à **discrétiser les équations** :

**Bords**

- Condition aux limites,
- Dirichlet : immédiat,
- Neuman : discrétiser la dérivée.

**Nœuds du maillage**

- Choisir une discrétisation des dérivées du problème,
- Mettre le schéma sous forme générale.

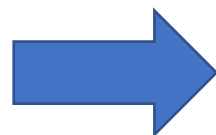




# Cycle des méthodes numériques (IV+V+VI)

La quatrième étape consiste à **écrire le problème sous forme matricielle** :

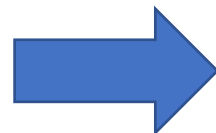
Systeme linéaire



$$AF = G$$

La cinquième étape consiste à **programmer et résoudre le problème** :

$$AF = G$$



$$F = A^{-1}G$$

La sixième étape consiste à **valider la solution** :

- Trouver une solution physique au problème,
- La calculer et la tracer en plus de la solution numérique,
- Calculer l'erreur entre les deux pour quantifier la solution numérique.

# Caractérisation d'un schéma numérique

On a vu les 4 propriétés essentielles qui permettent de caractériser un schéma :

## Consistance :

$$(\text{schéma})_i^n \xrightarrow{\delta x, \delta t \rightarrow 0} (\text{équation exacte})_i^n$$

$$R^n \xrightarrow{\delta x, \delta t \rightarrow 0} 0, \forall n$$

→ Développements limités  
(à un ordre suffisant)

## Ordre :

$$R_i^n = \text{termes} + O(\delta x^{p+1}) + O(\delta t^{q+1})$$

$p$  : ordre spatial,  $q$  : ordre temporel

$\min(p, q)$  : ordre global

→ Développements limités  
(à un ordre suffisant)

## Stabilité :

$$\exists C \in R, \|\varepsilon^n X\| \leq C \|X\|$$

$$\forall X, 0 \leq n \leq T/\delta t$$

→ Calcul du facteur d'amplification dans  
l'espace de Fourier  
Majoration pour stabilité L2  
(critère de von Neumann)

## Convergence :

$$\forall n, \|F_{ex}^n - F^n\| \xrightarrow{\delta x, \delta t \rightarrow 0} 0$$

$$\|E^n\| \xrightarrow{\delta x, \delta t \rightarrow 0} 0, \forall n$$

→ Consistance + Stabilité  
(Théorème de Lax)

# Ajout de la dimension temporelle (I)

Équation(s)

+ condition initiale

1. Définition du problème

discrétisation spatiale +  
discrétisation temporelle

2. Discrétisation du domaine

+ discrétisation temporelle +  
analyse de stabilité (explicite)

3. Discrétisation des équations

+ équation matricielle

4. Écriture matricielle

+ boucle temporelle

5. Programmation

(validation)

Solution numérique

# Ajout de la dimension temporelle (II)

Une fois le schéma mis sous forme générale,  
on voit tout de suite s'il est explicite ou implicite



## Explicite

= on exprime l'état futur du système en  
fonction des états passés

$$f^{n+1} = F[f^n, f^{n-1}, \dots]$$

$$F^0 = G^0$$

$$F^{n+1} = \varepsilon F^n + G$$

→ La résolution est itérative

→ Pas toujours stable



## Implicite

= on exprime l'état futur du système en  
fonction de l'état futur également

$$G[\dots, f^{n-1}, f^n, f^{n+1}] = 0$$

$$F^0 = G^0$$

$$O_g F^{n+1} = O_d F^n + G$$

→ La résolution est matricielle

→ Toujours stable

# Passage en 2D

Équation(s)

domaine rectangulaire

1. Définition du problème

discrétisation  
dans les deux directions

2. Discrétisation du domaine

attention aux termes croisés !

3. Discrétisation des équations

définition des matrices  
par bloc

4. Écriture  
matricielle

matrices creuses

5. Programmation

(validation)

Solution numérique

# Optimisation

Dans ce cours, on a construit de zéro des briques élémentaires de programmation de schémas numériques en différences finies

→ Mais lors de vos stages, vous travaillerez probablement sur des codes déjà existants !

Ça veut dire :

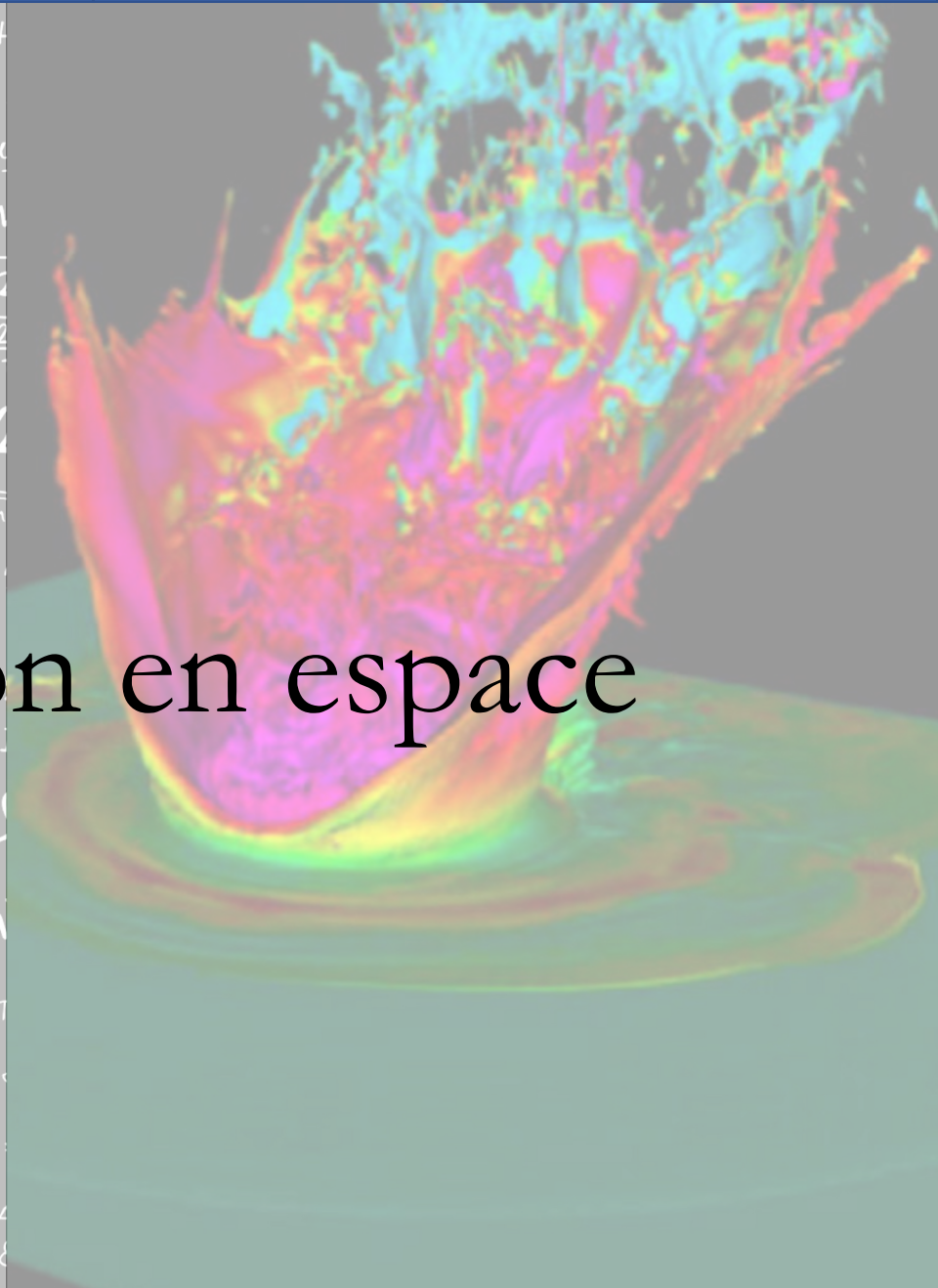
- Des codes de plusieurs milliers de ligne (rédigées sur plusieurs années),
- Un environnement qui n'est pas forcément votre ordinateur (supercalculateur),
  - Des méthodes numériques plus avancées que vu en cours.

L'idée de ce cours d'ouverture, c'est donc de vous donner du **vocabulaire** et de la **culture générale** pour mieux comprendre ces codes complexes (et ne pas s'en servir juste comme d'une boîte noire)

→ En particulier, on va s'intéresser ici aux surcouches **d'optimisation numérique** (recherche actuelle !)

$$\begin{aligned}
 & 2 \operatorname{tg} \vartheta_B = \frac{w_2}{w_1} = w_{21} \quad \rho V = n R T \quad \vec{\psi} = \iint \vec{D} d\vec{S} = A D \\
 & M_e = \sigma T^4 \quad \phi_e = \frac{L}{4\pi r^2} \quad \int \frac{\Delta \varphi}{2\pi} = \frac{\Delta x}{\lambda} = \frac{x_2 - x_1}{\lambda} \quad v = c/\lambda \\
 & \psi = E \psi \quad \Delta t = \frac{\Delta t'}{\sqrt{1 - v^2/c^2}} \quad X_L = \frac{U_m}{I_m} = \omega L = 2\pi f L \quad F_g = \frac{m_1 m_2}{(n_2 + n_1)^2} \\
 & E = h\nu \quad U = \frac{W_{AB}}{|E_{PA} - E_{PB}|} = \frac{\varphi_A - \varphi_B}{T} = \frac{4 n_1 n_2}{(n_2 + n_1)^2} \quad g = \frac{m_1 m_2}{m} \\
 & E = \frac{h c}{\lambda} \quad \varphi_E = \frac{E_e}{e} = k \frac{Q}{r} \quad \varphi = \frac{M_m}{N_A} \quad E = \frac{E_c}{a} \int_{-a/L}^{+a/L} \sin(\omega t + \phi) dy \\
 & \frac{M_m}{N_A} = \frac{M_r \cdot 10^{-3}}{N_A} \quad m = N \cdot m_0 = \frac{Q}{v_e} \quad \frac{M_m}{N_A} \quad E = \frac{E_c}{a} \int_{-a/L}^{+a/L} \sin(\omega t + \phi) dy \\
 & \frac{M_m}{N_A} = \frac{M_r \cdot 10^{-3}}{N_A} \quad l_t = l_0(1 + d \Delta t) \quad I = \frac{U_e}{R + R_i} \quad \omega = 2\pi f \\
 & \overline{m_e} R = \rho \frac{l}{S} \quad E = m c^2 \quad \frac{\sin \alpha}{\sin \beta} = \frac{v_1}{v_2} = \frac{w_2}{w_1} \quad v = \frac{1}{\sqrt{\epsilon \cdot \mu}} \\
 & \psi = \sqrt{2/L} \sin \frac{n\pi x}{L} \quad E = \frac{1}{2} \hbar \omega \quad \beta = \frac{\Delta I_c}{I_c} \quad \phi_e = \frac{\Delta E}{\Delta t} \quad \frac{w_1}{x} + \frac{w_2}{x'} = \\
 & \iint \vec{J} d\vec{S} \quad \vec{S} = \frac{1}{\mu_0} \nabla \times \vec{A} \quad \Delta I_B \quad \phi = \frac{2\pi \sin^2 \theta}{\lambda} \quad \vec{F}_x = \frac{1}{2} C_x \rho \delta v^2 \\
 & \frac{N_A}{M_r} = \sqrt{\frac{3 R_m T}{M_r \cdot 10^{-3}}} \quad E = \hbar k^2 \quad \rho c = \frac{1}{4\pi U} \quad \psi_2 = U_e \\
 & h = S h \rho g \quad \frac{2m}{M_0} \quad M_0 = \frac{4\pi r^3}{3} \frac{\partial T^2}{\partial T^2} \quad r \quad S \quad R = \frac{U}{I} \quad F_v = \\
 & \cos \vartheta_2 \quad f_0 = \frac{1}{2\pi \sqrt{CL}} \quad \sigma = \frac{Q}{M} \quad M = F d \cos \alpha \quad \vec{S} = U \vec{F}_v = \\
 & R = R_0 \sqrt[3]{A} \quad \int \vec{E} d\vec{l} = - \iint \frac{\partial \vec{B}}{\partial t} \cdot d\vec{S} \quad \rho = \frac{E}{c} = \frac{h f}{c} = \frac{h}{\lambda} \\
 & \oint \vec{H} d\vec{l} = \iint (\vec{J} + \frac{\partial \vec{D}}{\partial t}) \cdot d\vec{S} \quad \varphi = m c \Delta t \quad F_g = \\
 & L = 10 \log \frac{I}{I_0} \quad \Delta \psi = \frac{2\pi \Delta x}{\lambda} = \frac{2\pi d \sin \vartheta}{\lambda} \\
 & = \mu_0 \sum I_i \quad \rho = \frac{\vec{F}}{\Delta S} = \frac{m \Delta \vec{v}}{\Delta S \Delta t} \quad P = UI \quad h = \frac{1}{2} g t^2 \quad v = v_1(1 + \beta) \\
 & f' = \frac{v_a \cdot v_b}{(v - 1)(v_0 - v_a)} \quad \nabla \times \left( -\frac{\partial \vec{B}}{\partial t} \right) = -\frac{\partial}{\partial t} (\operatorname{rot} \vec{B}) = -\mu_0 \frac{\partial}{\partial t} \left( \frac{\partial \vec{B}}{\partial t} \right) =
 \end{aligned}$$

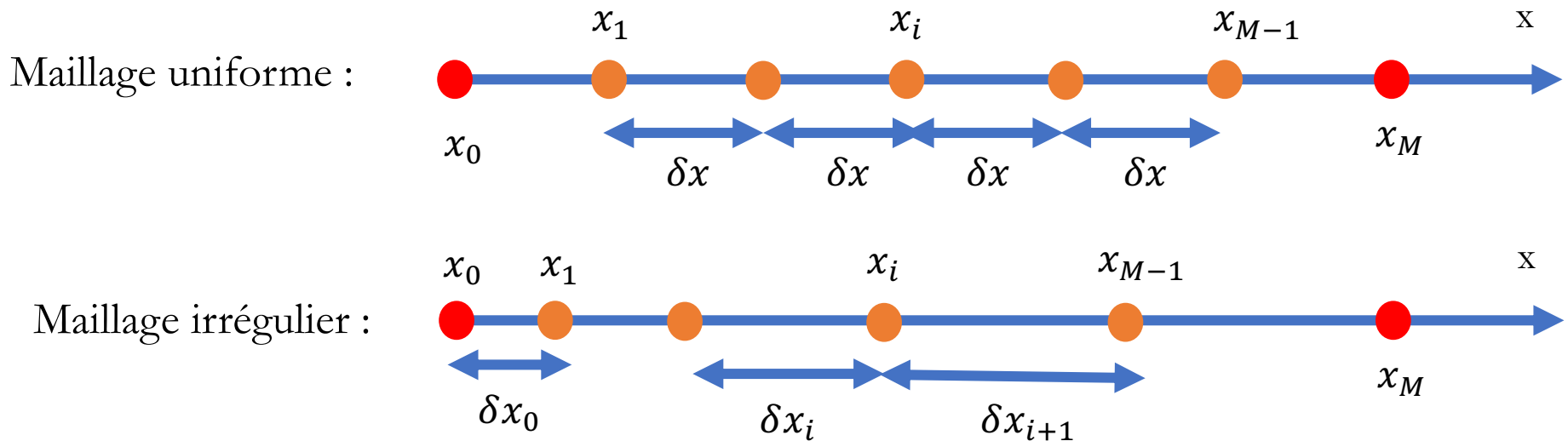
# Optimisation en espace



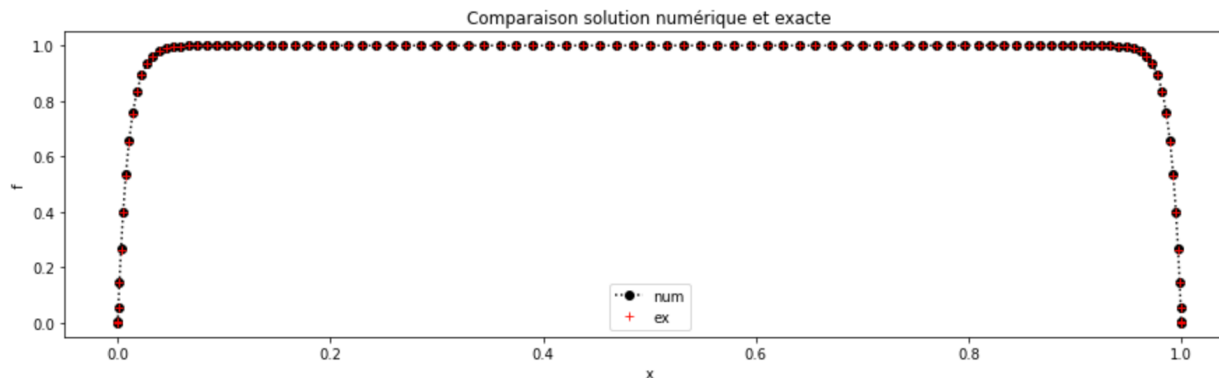


# Rappel sur les maillages

On a vu que pour discrétiser le domaine spatial, on peut utiliser des maillages plus ou moins complexes en fonction du problème :



MAIS cela suppose qu'on sait déjà où sera l'information physique du problème !

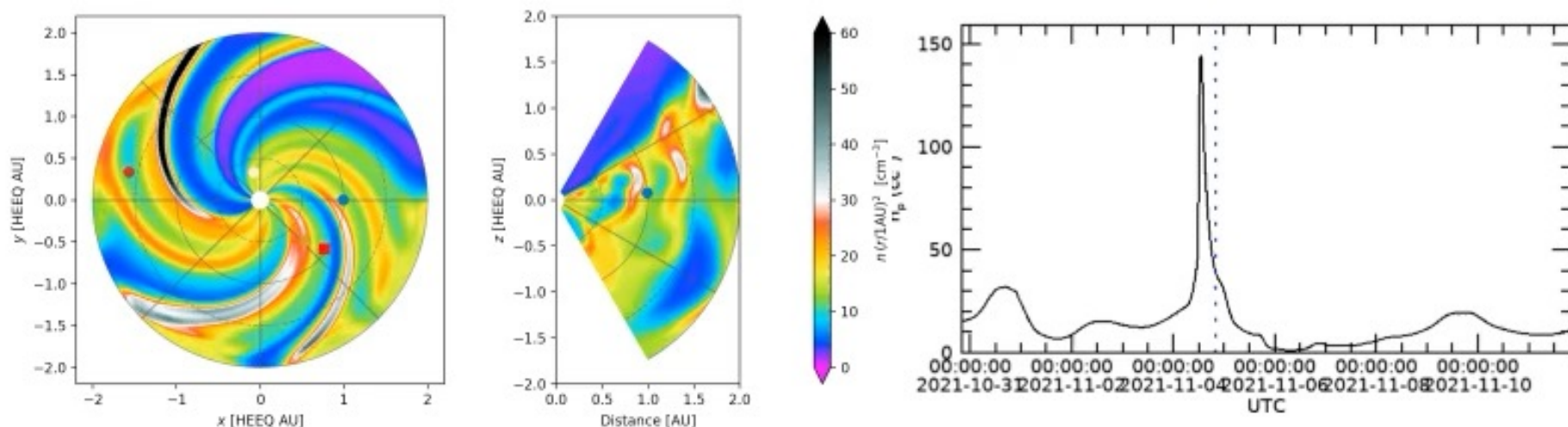


# Problème de maillage

Sauf que la plupart du temps, on ne peut pas savoir où sera l'élément physique intéressant  
+ il peut se déplacer au cours du temps !

Exemple : simulation de plusieurs éjections de masse coronale du Soleil à la Terre

## EUHFORIA (Earth) - 2021-10-30T20:03:21

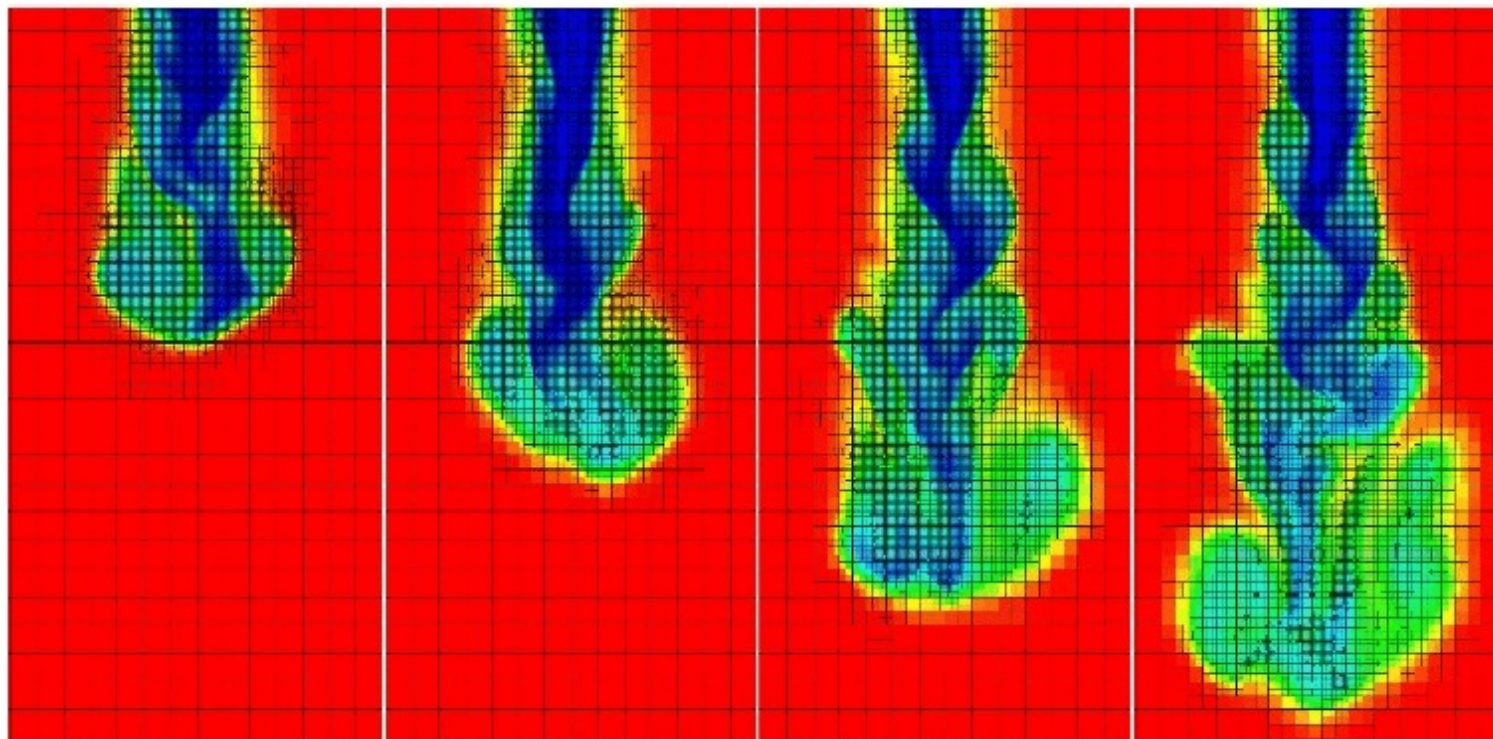


→ On voudrait donc un moyen de raffiner automatiquement  
le maillage aux endroits intéressants !

# Notion de maillage adaptatif

C'est justement le cœur de la technique d'AMR (*Adaptative Mesh Refinement*)

→ On définit un critère et on raffine le maillage en fonction de ce dernier



[Roda-Casanova & Sanchez-Marin 2017]

(d)  $L_{\min} = 2, L_{\max} = 8, \varphi_{\max} = 0.0$   
 $N_f = 12,955,008$

(e)  $L_{\min} = 2, L_{\max} = 8, \varphi_{\max} = 0.1$   
 $N_f = 7,862,400$

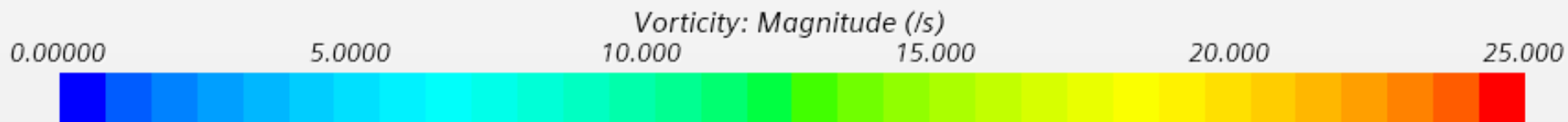
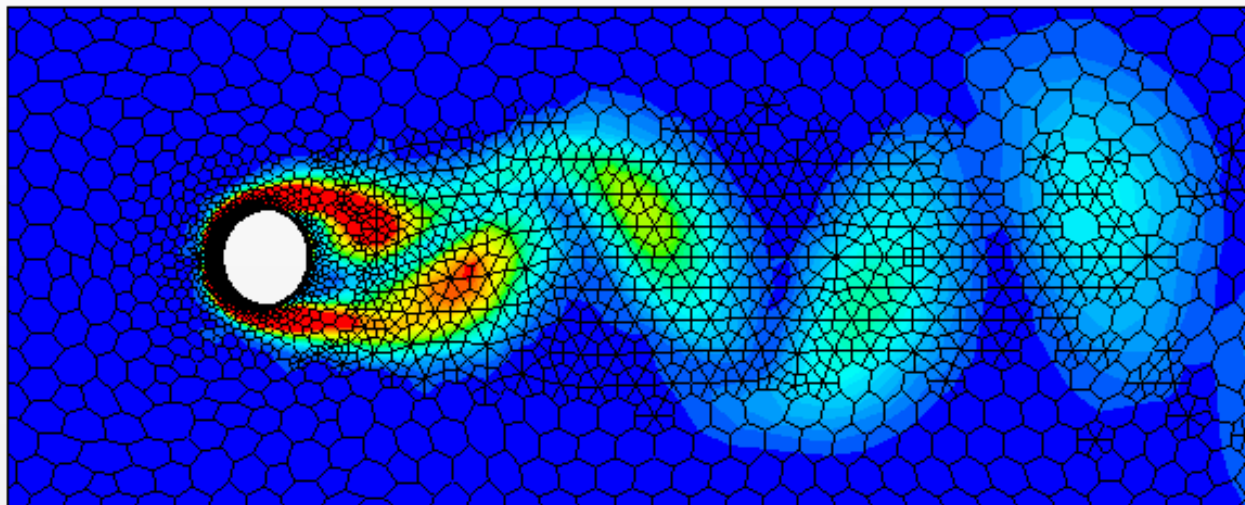
(f)  $L_{\min} = 1, L_{\max} = 8, \varphi_{\max} = 0.3$   
 $N_f = 4,036,352$

[Shahsavan+2018]

→ Voyons le vocabulaire associé à cette technique

# Critère de raffinement

Avant de pouvoir raffiner, il faut d'abord définir où c'est intéressant de pouvoir le faire  
→ c'est le critère de raffinement, pour sélectionner les régions d'intérêt



En général, on utilise :

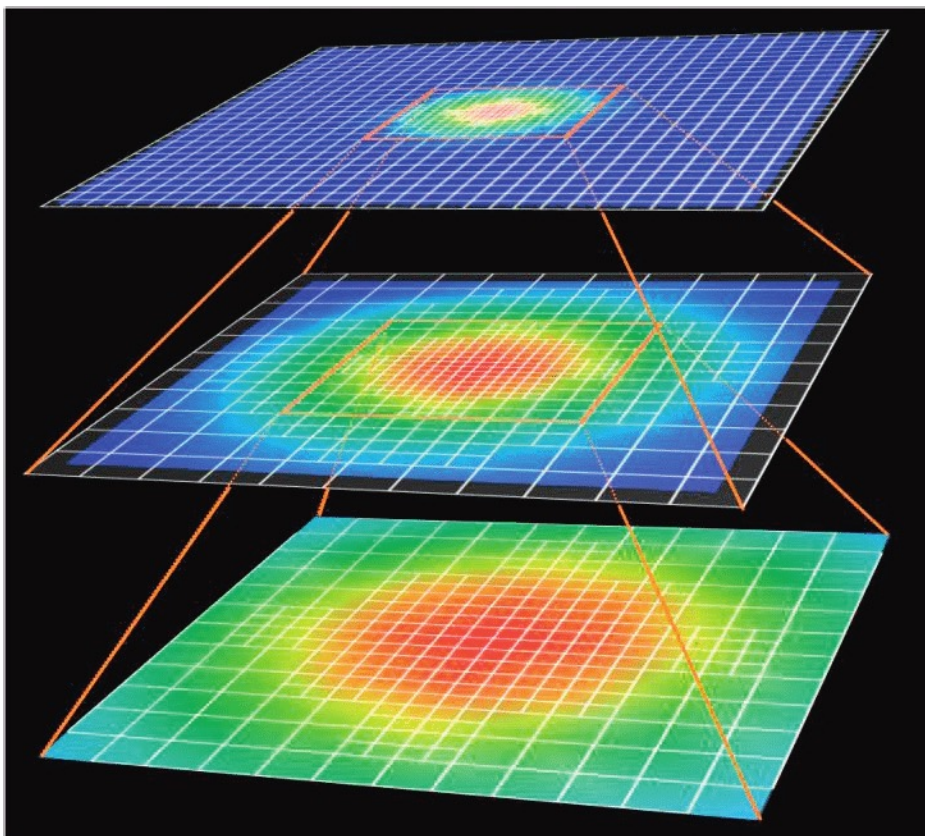
- Les fortes valeurs d'une quantité physique (seuil),
- Les fortes variations d'une valeur physique (gradient).



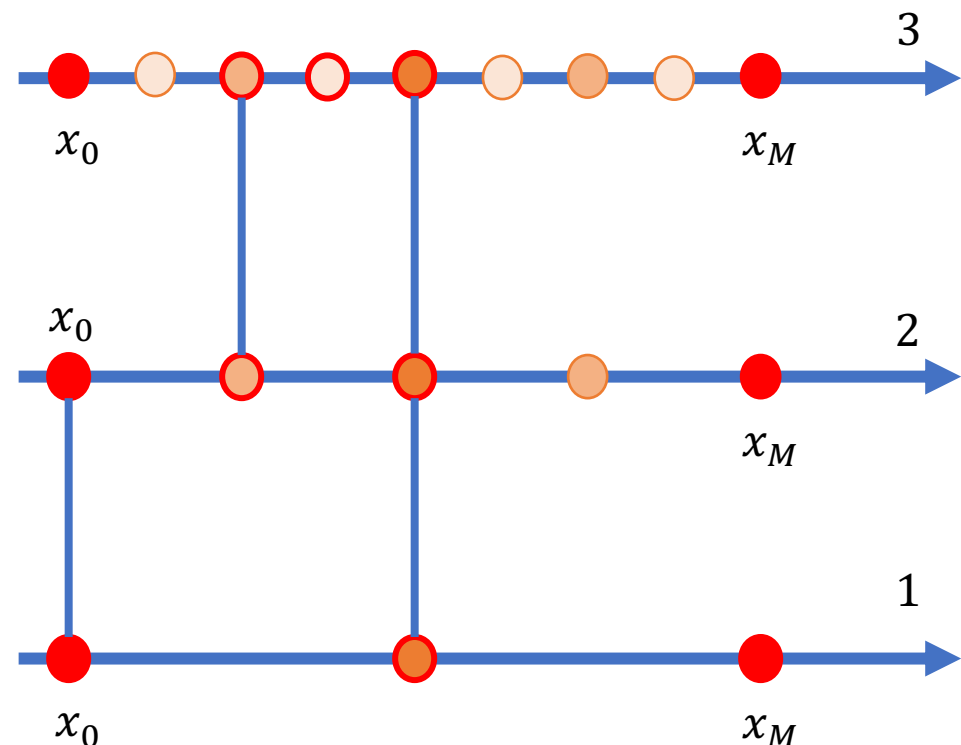
# Niveau de grille

Cette méthode mène à la manipulation de grilles composites

→ On peut comprendre leur construction avec la notion de niveaux de grille :



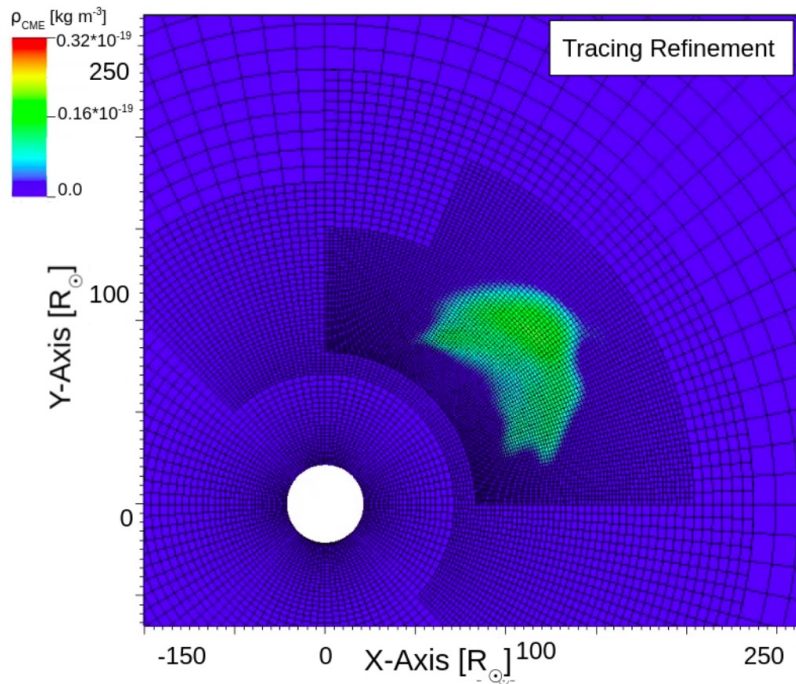
[Matsumoto+2014]



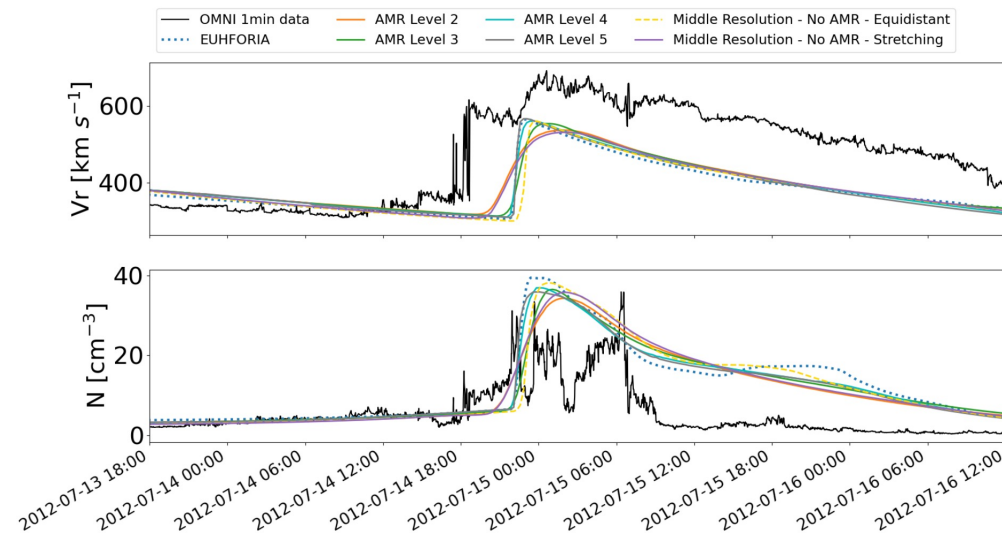
→ Un inconvénient majeur est la manipulation (conditions aux limites ?)  
et visualisation des résultats calculés sur ces grilles

# Exemple de simulations avec AMR (I)

On reprend l'exemple des éjections de masse coronale avec un maillage AMR :



**Fig. 2.** Adaptive mesh refinement level 3 for the CME density tracing function. The X- and Y-axis show the distance from the centre in solar radii. The CME density tracing function is shown in the equatorial plane with the corresponding colour map.



[Baratashvili+2022]

→ Peu de perte en précision

# Exemple de simulations avec AMR (II)

On reprend l'exemple des éjections de masse coronale avec un maillage AMR :

**Table 4.** Run times required for the EUHFORIA simulation, middle-resolution simulations on the equidistant ( $\text{Middle}_{\text{EQ}}$ ) and stretched ( $\text{Middle}_{\text{STR}}$ ) grids, and AMR level 2 and 3 runs (starting from  $\text{Low}_{\text{STR}}$ ).

EUHFORIA	$\text{Middle}_{\text{EQ}}$	$\text{Middle}_{\text{STR}}$	AMR2	AMR3
14 h 13 m	6 h 16 m	1 h 30 m	0 h 9 m	0 h 17 m

**Notes.** All the simulations were performed on 1 node with 36 processors on the Genius cluster at the Vlaams Supercomputing Centre.

→ Gain de temps plus que significatif !

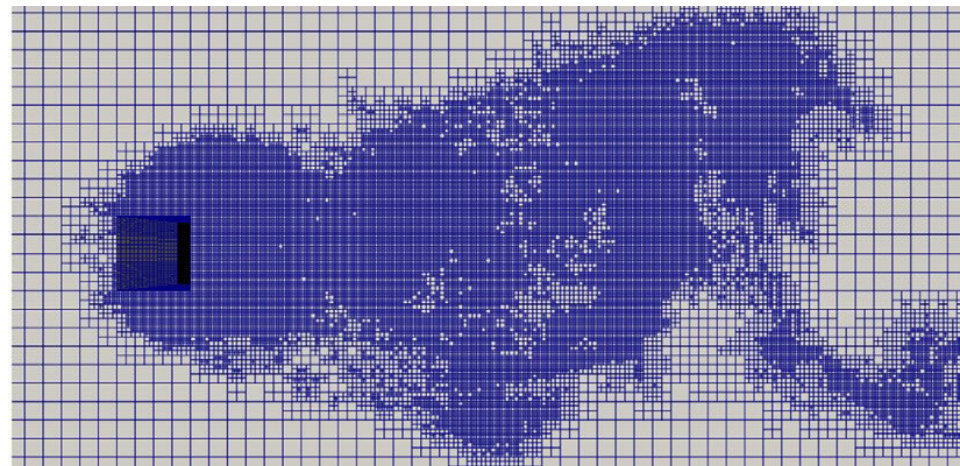
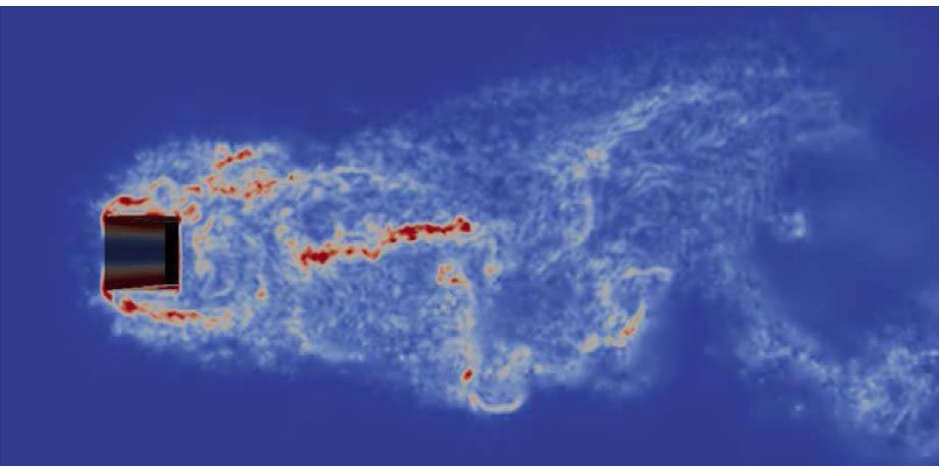


# Résumé de l'AMR

L'*Adaptive Mesh Refinement* ou AMR permet d'obtenir un maillage plus précis uniquement dans les régions d'intérêt du domaine

On a besoin :

- d'un critère de raffinement,
- d'un niveau maximal de grille



## Avantages :

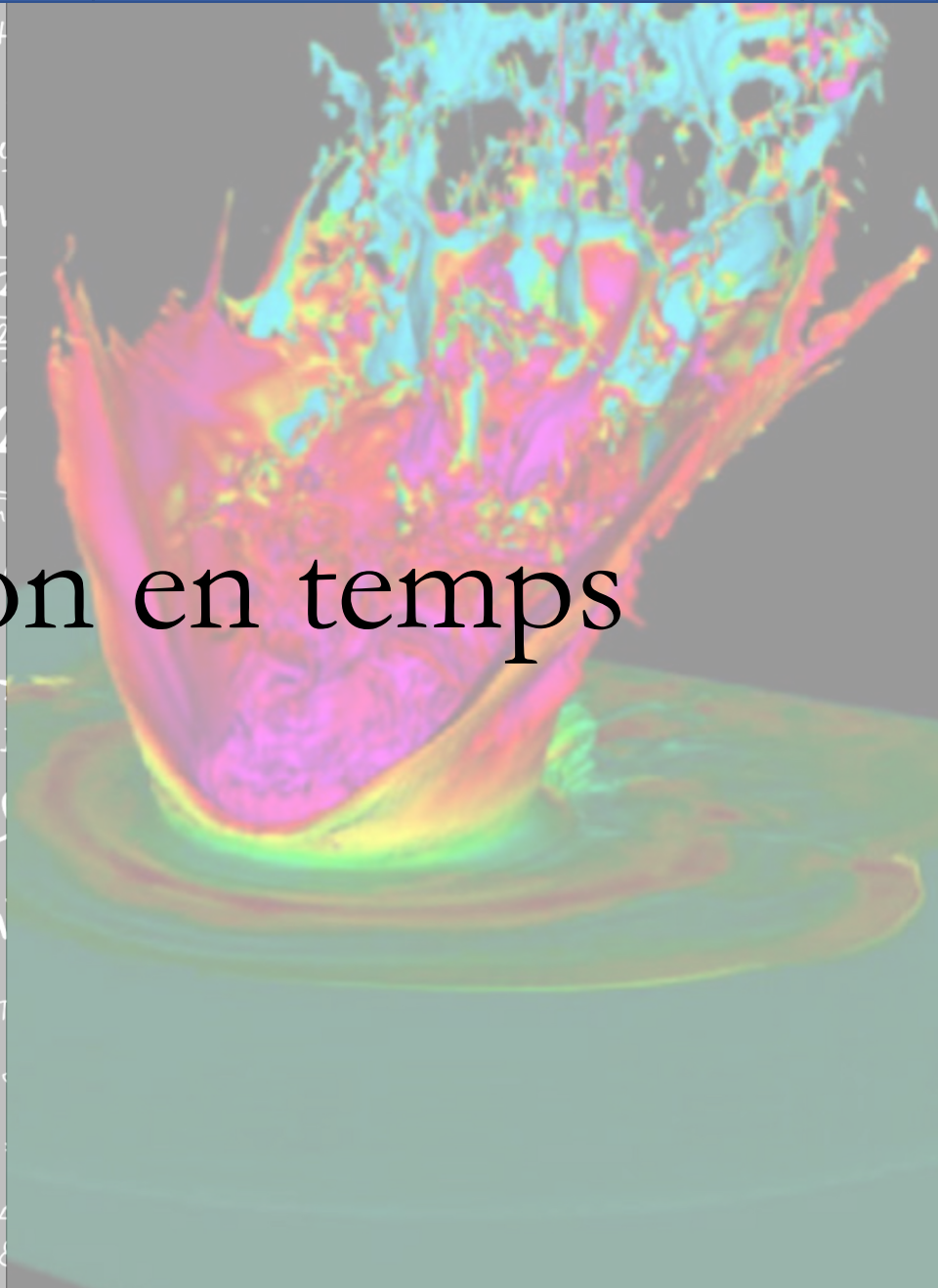
Beaucoup plus rapide car moins coûteux, peu de perte en résolution

## Inconvénients :

Données finales difficiles à manipuler et visualiser, Résultats dépendants du critère choisi,  
Beaucoup plus difficile à coder !

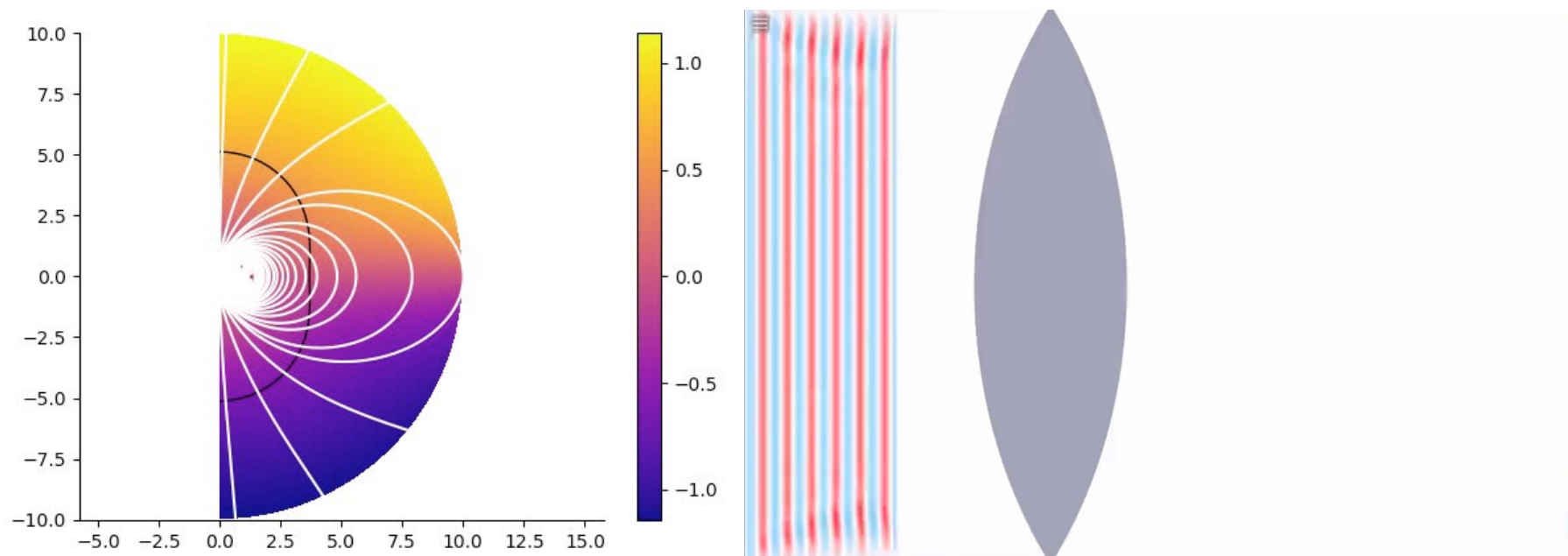
$$\begin{aligned}
 & \rho V = nRT \quad \vec{\psi} = \iint \vec{D} d\vec{S} = AD \\
 & \Delta \psi = \frac{\Delta x}{2\pi} = \frac{x_2 - x_1}{S_2} \quad v = c/\lambda \\
 & \phi_e = \frac{L}{4\pi r^2} \quad X_L = \frac{U_m}{I_m} = \omega L = 2\pi f L \quad F_g = \frac{m_1 m_2}{(n_2 + n_1)^2} \\
 & E = mc^2 \quad \frac{\sin \alpha}{v_1} = \frac{\sin \beta}{v_2} = \frac{\sin \gamma}{v} \\
 & E = \hbar \omega \quad \frac{1}{\mu_0} (\vec{E} \times \vec{B}) \quad E_k = \frac{h^2}{8mL^2} \\
 & \vec{S} = \frac{1}{\mu_0} (\vec{E} \times \vec{B}) \quad \vec{D} d\vec{S} \\
 & \vec{H} = \text{shp}g \quad f_0 = \frac{1}{2\pi \sqrt{LC}} \quad S I_m^2 = U_m^2 \left[ \frac{1}{R^2} + \left( \frac{1}{X_C} - \frac{1}{X_L} \right)^2 \right] \\
 & \vec{H} d\vec{l} = \iint (\vec{J} + \frac{\partial \vec{D}}{\partial t}) \cdot d\vec{S} \quad \vec{E} d\vec{l} = - \iint \frac{\partial \vec{B}}{\partial t} \cdot d\vec{S} \quad p = \frac{E}{c} = \frac{hf}{c} = \frac{h}{\lambda} \\
 & \vec{H} d\vec{l} = \iint (\vec{J} + \frac{\partial \vec{D}}{\partial t}) \cdot d\vec{S} \quad \vec{E} d\vec{l} = - \iint \frac{\partial \vec{B}}{\partial t} \cdot d\vec{S} \quad \omega = U_m \sin \omega(t - T) = U_m \sin 2\pi \\
 & \vec{H} d\vec{l} = \iint (\vec{J} + \frac{\partial \vec{D}}{\partial t}) \cdot d\vec{S} \quad \vec{E} d\vec{l} = - \iint \frac{\partial \vec{B}}{\partial t} \cdot d\vec{S} \quad \vec{E} = \frac{2\pi \Delta x}{\lambda} = \frac{2\pi d \sin \alpha}{\lambda} \\
 & \vec{H} d\vec{l} = \iint (\vec{J} + \frac{\partial \vec{D}}{\partial t}) \cdot d\vec{S} \quad \vec{E} d\vec{l} = - \iint \frac{\partial \vec{B}}{\partial t} \cdot d\vec{S} \quad P = UI \quad h = \frac{1}{2} g t^2 \quad v = v_1(1 + \beta) \\
 & \vec{H} d\vec{l} = \iint (\vec{J} + \frac{\partial \vec{D}}{\partial t}) \cdot d\vec{S} \quad \vec{E} d\vec{l} = - \iint \frac{\partial \vec{B}}{\partial t} \cdot d\vec{S} \quad \nabla \times \left( -\frac{\partial \vec{B}}{\partial t} \right) = -\frac{\partial}{\partial t} (\text{rot } \vec{B}) = -\mu_0 \frac{\partial}{\partial t} \left( \frac{\partial \vec{B}}{\partial t} \right) = \dots
 \end{aligned}$$

# Optimisation en temps



# Rappel de l'évolution temporelle

On a vu qu'une fois la solution calculée sur le domaine donné, on pouvait avoir besoin de calculer son évolution temporelle (convergence ou modulation) :

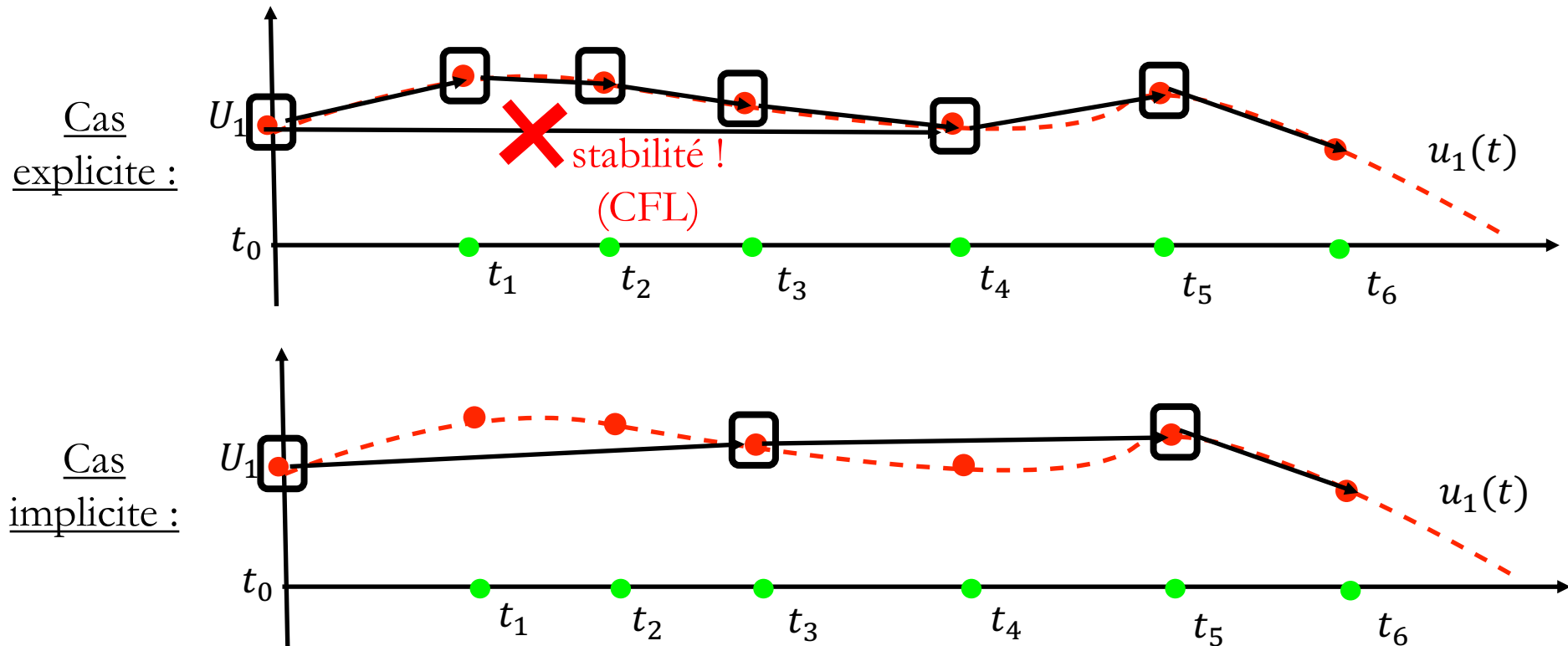


[Perri+2018]

Le temps de calcul dépend alors du temps nécessaire pour atteindre l'état / la séquence d'états voulus  
→ Que pourrait-on faire pour optimiser cette étape ?

# Rappel : Explicite vs. Implicite

On a vu dans le cours que les schémas implicites étaient inconditionnellement stables :

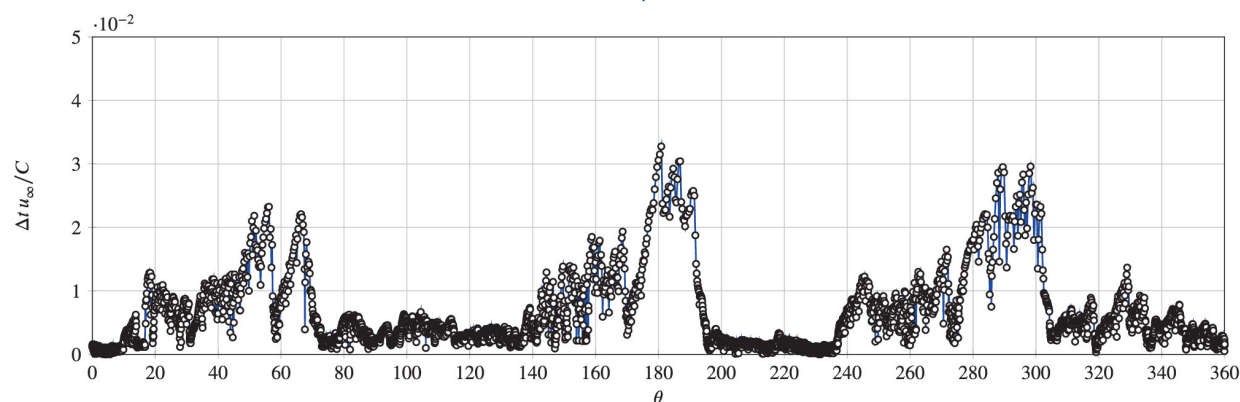
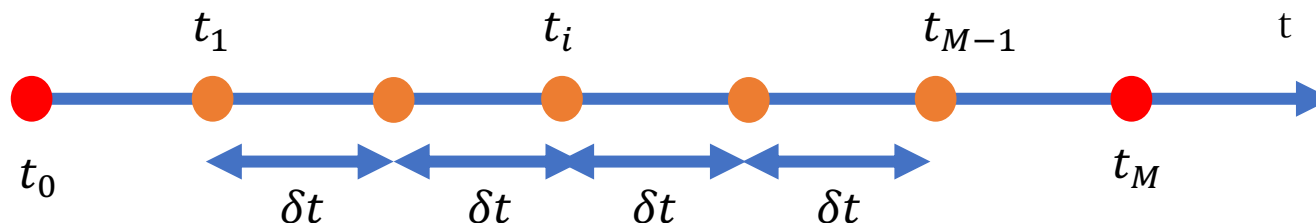


- Ça permet d'atteindre beaucoup plus rapidement les états de convergence !
- MAIS dépend de la matrice à inverser + pas applicable pour modulations

# Notion de pas de temps adaptatif

Une option possible est de faire comme avec la discrétisation spatiale

→ Utiliser une discrétisation temporelle non régulière, optimisée pour le problème :



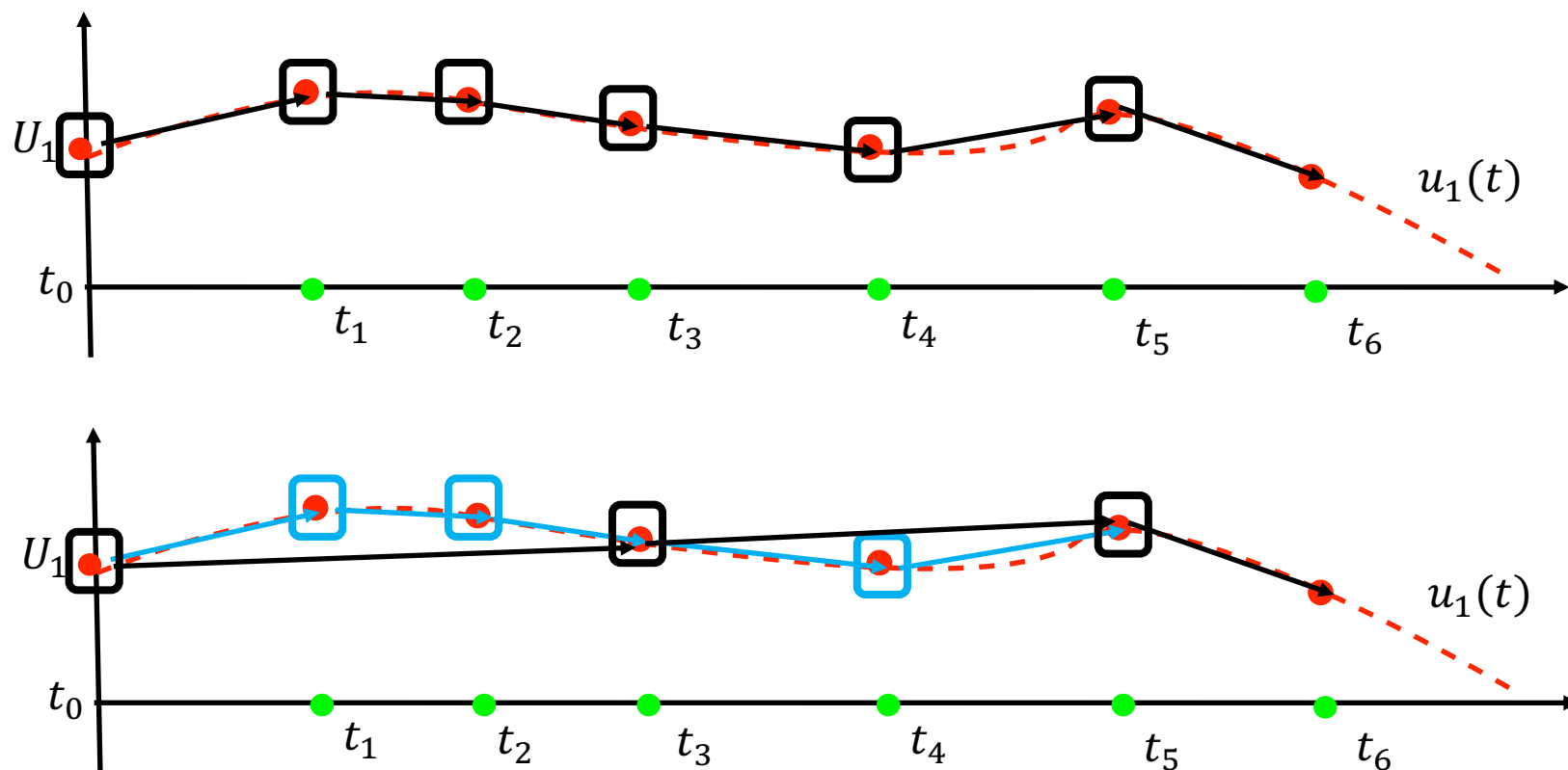
[Ghidoni+2022]

→ À chaque pas de temps, on prend le temps de calculer le pas de temps maximal possible pour la prochaine étape



# Algorithmes parallèles

Une option plus osée conceptuellement est d'arrêter de considérer le temps comme séquentiel :

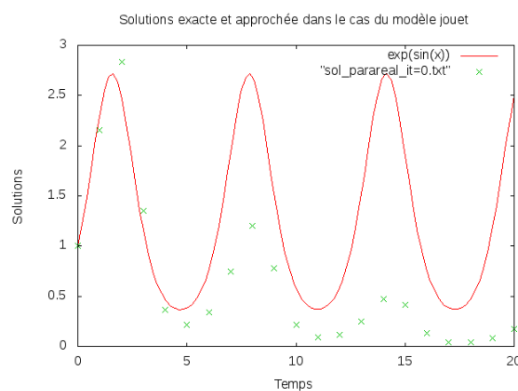


→ On peut également utiliser une approche similaire quand des phénomènes physiques à différentes échelles sont assez découplés pour utiliser des solveurs différents

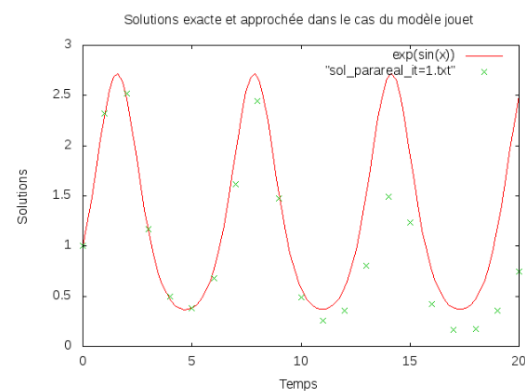
# Exemples d'optimisation en temps

## Exemple sur une équation d'onde

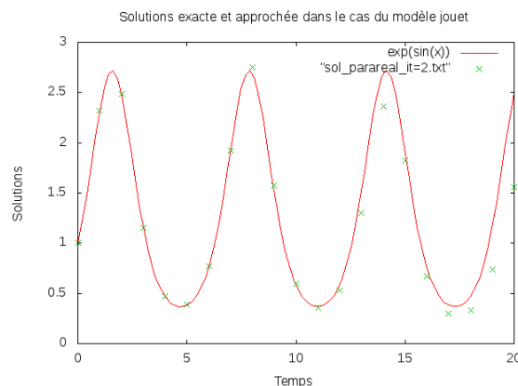
- Il faut plusieurs synchronisations pour obtenir la bonne solution
- Mais globalement plus rapide que si on utilisait un seul solveur fin, et plus précis que si on utilisait un seul solveur grossier



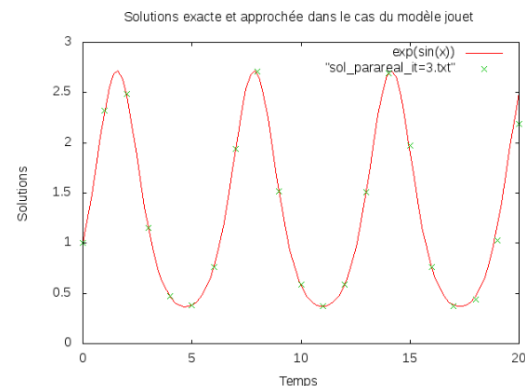
(a) Solutions exacte et approchée à l'itération 1.



(b) Solutions exacte et approchée à l'itération 2.



(c) Solutions exacte et approchée à l'itération 3.



(d) Solutions exacte et approchée à l'itération 4.



# Pré-conditionnement pour implicite

On a vu que les problèmes implicites reviennent à inverser une matrice :

$$F^{n+1} = O_g^{-1}(O_d F^n + G)$$

- Toute la difficulté revient à calculer la matrice  $O_g^{-1}$  !
- Et on a vu qu'avec le nombre de dimensions qui augmente, c'est de plus en plus difficile !

On peut alors simplifier le problème en utilisant un pré-conditionnement :

$$AX = B \quad \longleftrightarrow \quad MX = B'$$

où  $M$  est plus facile à inverser que  $A$  !

→ Plein de manières de procéder, mais aucune générale (problème-dépendant) :

$$LAX = LB \quad ARY = B \quad LARY = LB \quad S^T ASY = S^T B$$

$$\begin{aligned}
 & v_2 \tan \theta_B = \frac{w_2}{w_1} = w_{21} \\
 & M_e = \sigma T^4 \\
 & \phi_e = \frac{L}{4\pi r^2} \\
 & E = h\nu \\
 & U = \frac{W_{AB}}{|E_{PA} - E_{PB}|} \\
 & \Phi_E = \frac{E_c}{k} \Phi \\
 & m = N \cdot m_0 \\
 & l_t = l_0(1 + d\Delta t) \\
 & I = \frac{U_e}{R + R_i} \\
 & R = \rho \frac{l}{S} \\
 & E = mc^2 \\
 & \beta = \frac{\Delta I_c}{\Delta I_B} \\
 & \sigma = \frac{Q}{M} \\
 & \Phi = mc\Delta t \\
 & \rho = \frac{F}{\Delta S} = \frac{m\Delta v}{\Delta S\Delta t} \\
 & P = UI \\
 & h = \frac{1}{2}gt^2 \\
 & \nabla \times \left( -\frac{\partial \vec{B}}{\partial t} \right) = -\frac{\partial}{\partial t} (\text{rot } \vec{B}) = -\mu_0 \frac{\partial}{\partial t} \left( \frac{\partial \vec{B}}{\partial t} \right) = \dots
 \end{aligned}$$

# Optimisation en calcul



# Python comme langage de programmation

Dans ce cours, nous avons utilisé le langage Python comme langage de programmation  
→ c'est un langage dit **interprété** :

## Avantages :

Plus facile à lire et à écrire  
Multi-plateformes



## Inconvénients :

Nécessite la présence d'un interpréteur  
Moins performant qu'un langage compilé



Pour exécuter les scripts, nous avons également utilisé des Jupyter Notebooks  
= environnement de programmation interactif

→ Il s'agit de programmation en local sur l'ordinateur en question :

## Avantages :

Toujours disponible

## Inconvénients :

Limité par la puissance de l'ordinateur

→ Comment peut-on également optimiser les outils de programmation ?

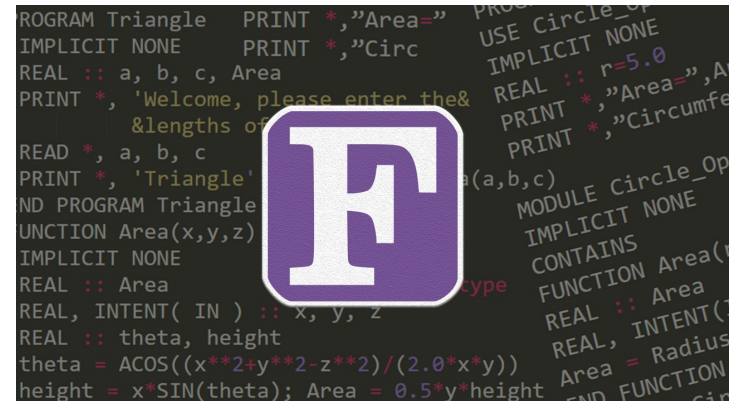
# Autres langages de programmation

Il existe d'autres langages interprétés qui possèdent d'autres avantages :



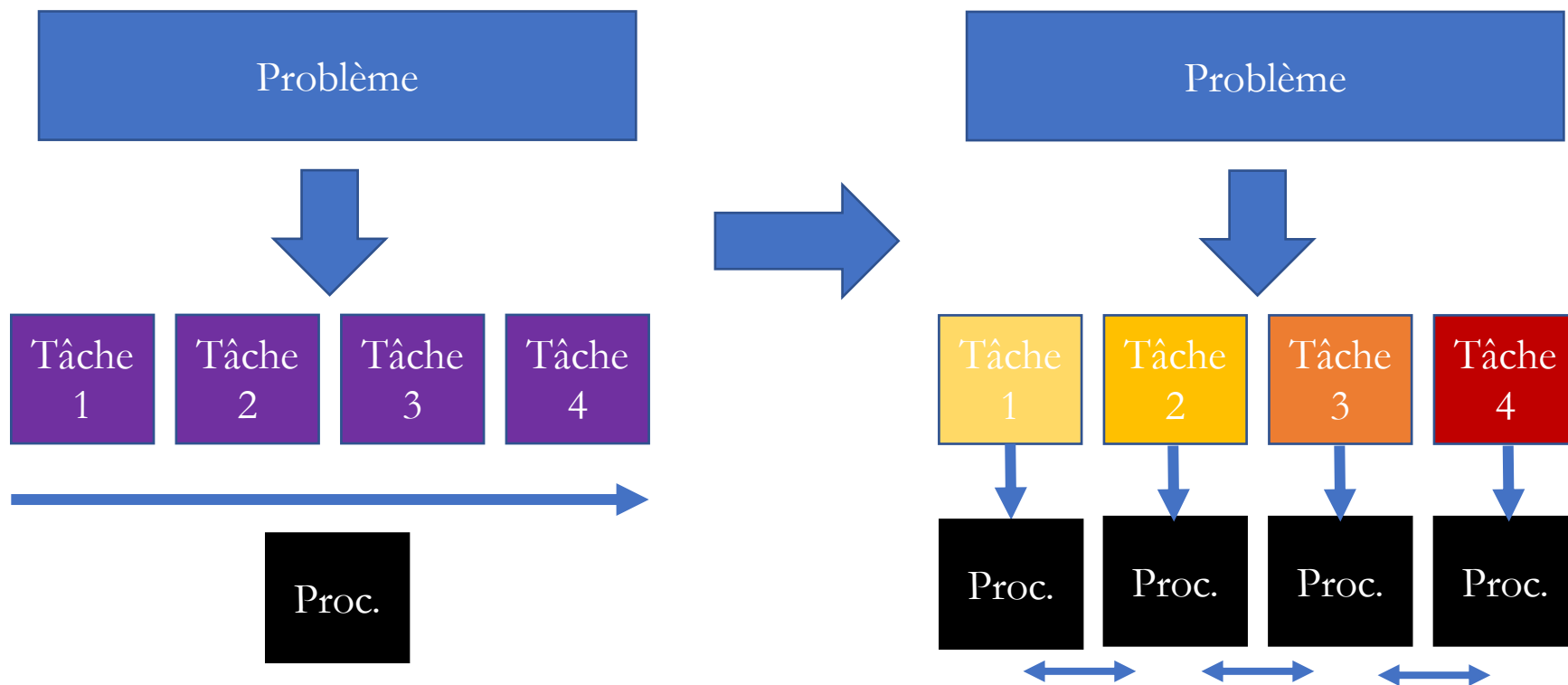
Un langage non interprété est dit **compilé**

→ On n'exécute pas directement le script, on doit d'abord le compiler pour obtenir un exécutable qui dépend de la plate-forme de compilation



# Notions de calcul parallèle

Dans les codes que nous avons utilisés, nous avons codé en **séquentiel**  
= on n'utilise qu'un seul processeur pour effectuer  
toutes les tâches requises les unes après les autres

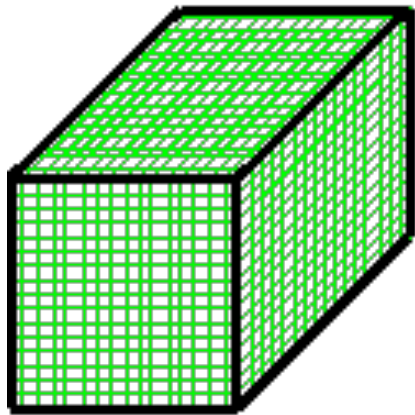


- Coder en **parallèle** permet de mieux exploiter les ressources de l'ordinateur
- MAIS il faut identifier au préalable des sous-tâches indépendantes

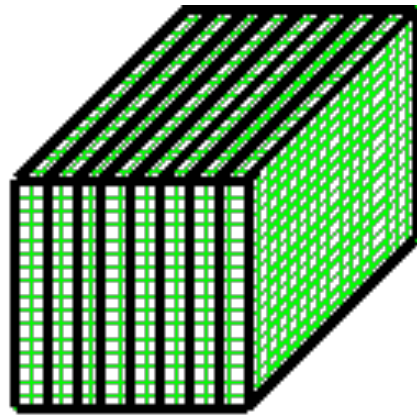


# Exemples de parallélisation

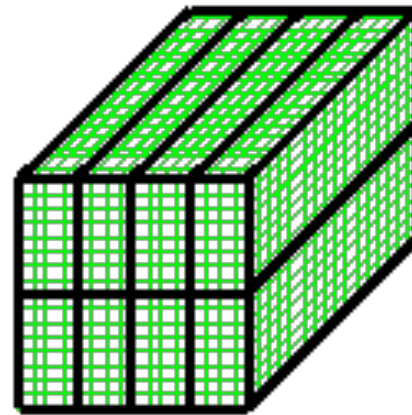
Le cas le plus utilisé pour la parallélisation d'algorithmes est la **décomposition de domaines**



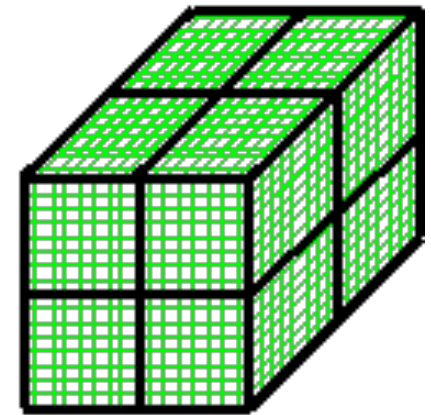
Global  
Grid



1D  
Domain  
Decomp.



2D  
Domain  
Decomp.

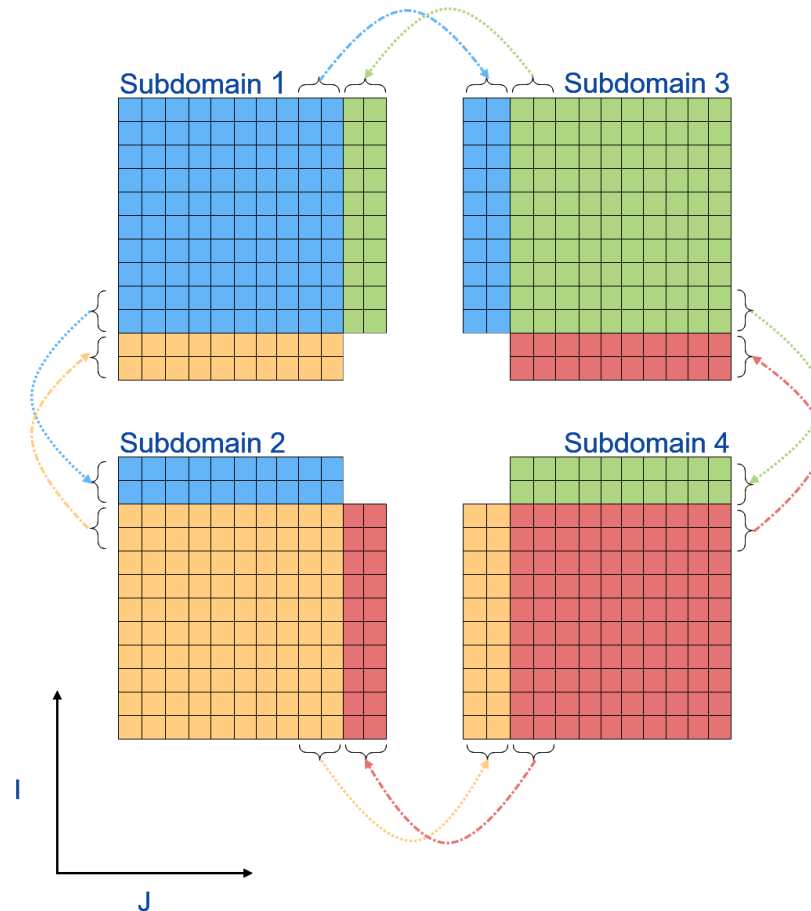


3D  
Domain  
Decomp

NB : Les algorithmes parallèles constituent eux une parallélisation du temps !

# Difficultés du calcul parallèle

Le calcul parallèle implique cependant d'identifier les sous-tâches parallélisables + d'établir des **communications** entre processeurs pour échanger les informations

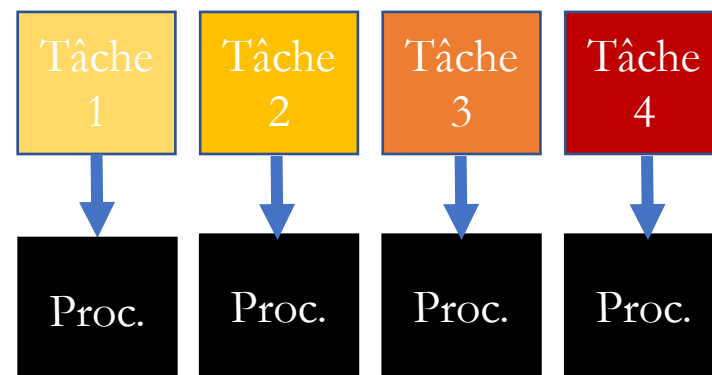
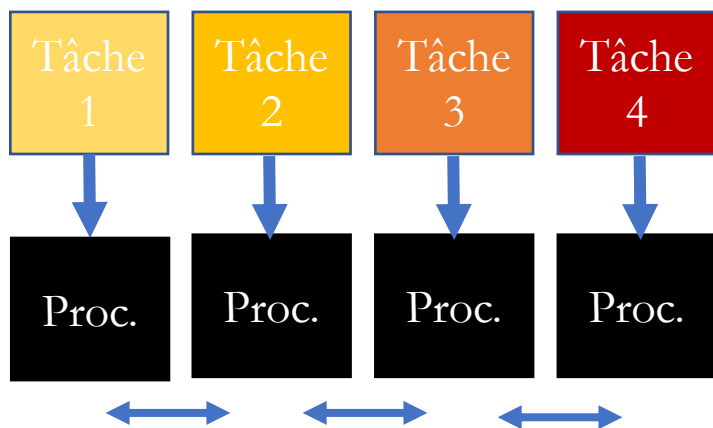


→ La gestion des conditions aux limites devient beaucoup plus difficile par exemple !



# Différents types de parallélisme

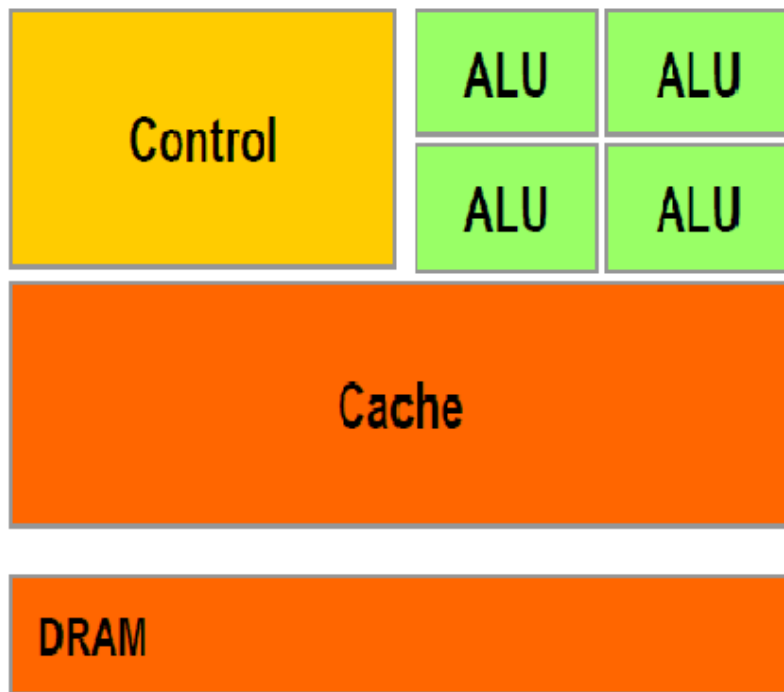
On distingue ce qu'on appelle le **calcul distribué** (parallélisme avec communications) de *l'embarassingly parallel* (parallélisme parfait)



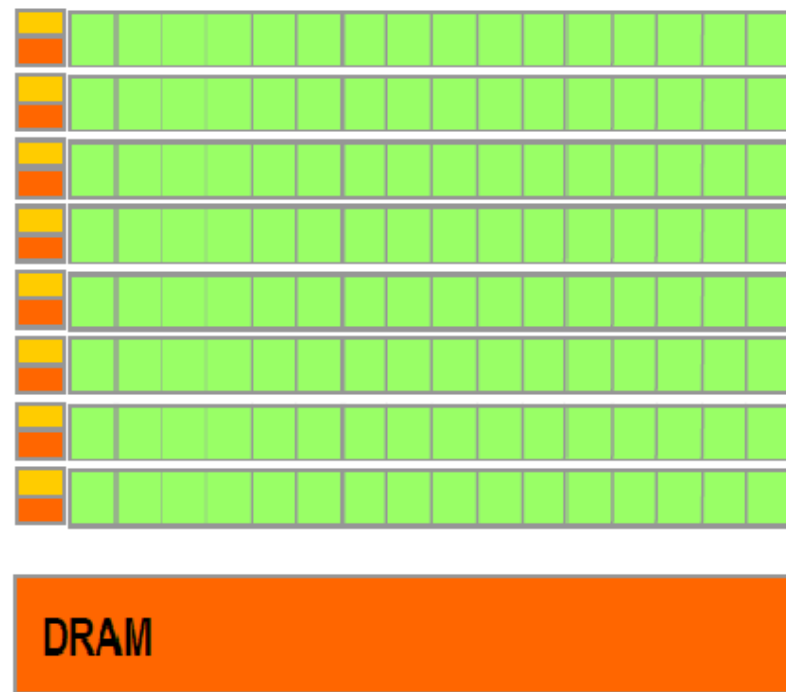
- Pour le calcul distribué, on utilise plutôt OpenMPI
- Pour *l'embarassingly parallel*, on utilise plutôt OpenMP

# Différentes architectures informatiques

On programme le plus souvent sur des processeurs (**CPU**)  
MAIS on peut maintenant aussi programmer sur carte graphique (**GPU**)



**CPU**



**GPU**

- Le CPU est plus optimisé pour le calcul distribué,
- Le GPU est plus optimisé pour l'*embarrassingly parallel*

# Supercalculateurs

Pour faire tourner des codes très coûteux, on a besoin d'une excellente architecture

- On ne calcule plus sur son ordinateur, mais sur un supercalculateur  
= machine très puissante de renommée nationale ou internationale !



TGCC en France

200 000 cœurs

83<sup>ème</sup> meilleure machine au monde



Adastra (GENCI) en France

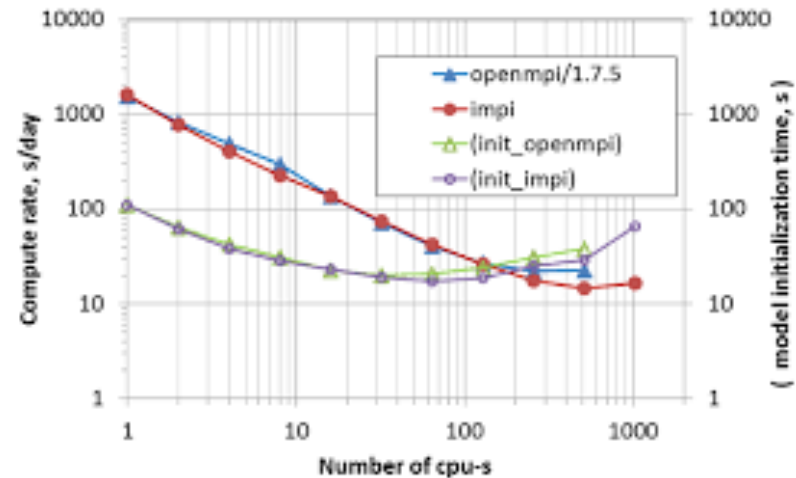
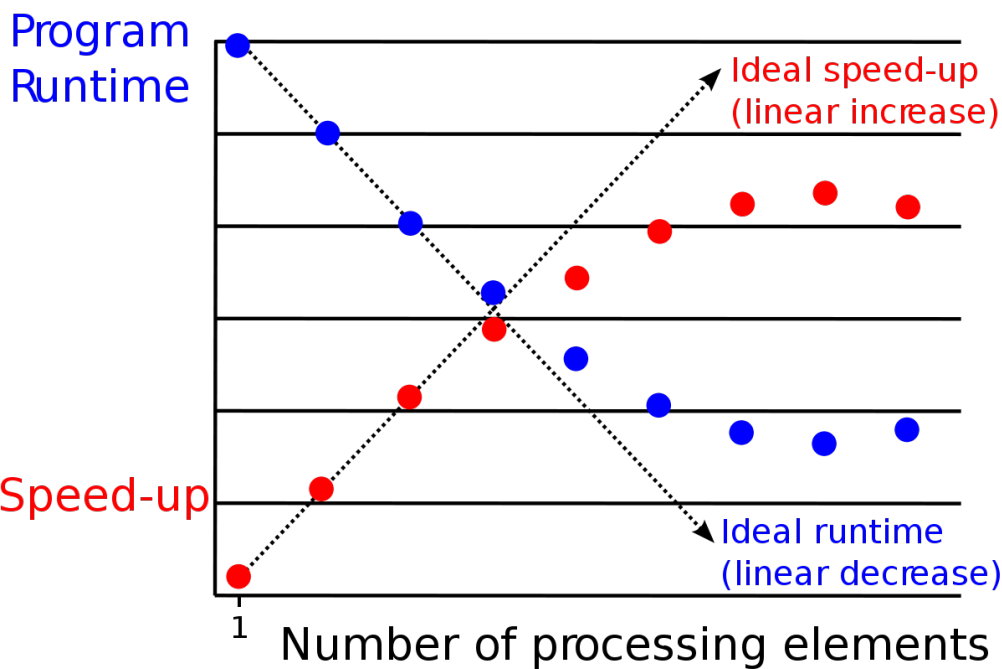
300 000 cœurs

11<sup>ème</sup> meilleure machine au monde

- On doit alors se connecter à distance (SSH)
- Il faut gérer différemment son espace de travail

# Accélération de codes parallélisés

Une fois qu'un code est parallélisé, il peut calculer très rapidement malgré la taille du domaine de calcul, et d'autant plus rapidement qu'on utilise de CPUs/GPUs  
 = extensibilité (**scalability** en anglais)



→ Il n'existe pas de *scaling* parfait, mais il est important d'estimer le nombre de processeurs à partir duquel le *scaling* devient moins performant



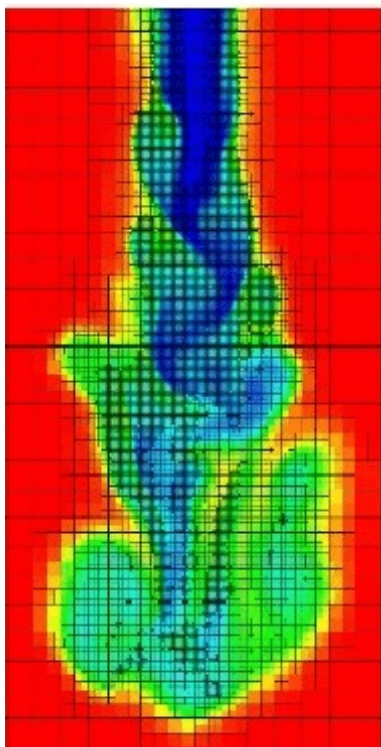


# Optimisation des méthodes numériques

Il y a de nombreuses manières d'optimiser un code numérique :

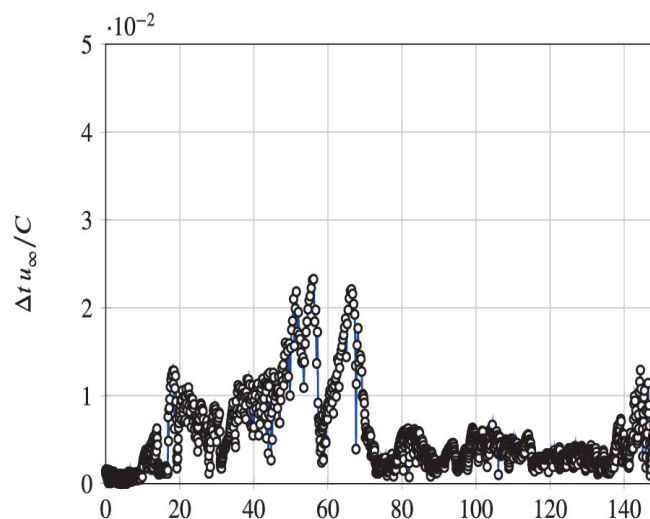
## En espace

→ AMR (grille adaptative)



## En temps

→ Pas de temps adaptatif  
→ Parallélisation en temps  
→ Pré-conditionnement



## En calcul

→ Parallélisation du code  
→ Architecture (CPU/GPU)  
→ Supercalculateur





# Résumé des compétences à maîtriser

## Cours 1 :

Vocabulaire des méthodes numériques.

## Cours 2 :

- Méthode de Newton,
- Polynôme de Lagrange,
- Quadrature d'interpolation.

## Cours 3 :

### Différences finies :

- Par tangente,
  - Par les développements limités,
- Par le polynôme de Lagrange.

## Cours 4 :

- Résolution d'un problème 1D stationnaire,
- Problème aux valeurs propres.

## Cours 5 :

- Analyse de l'ordre d'un schéma,
- Analyse de stabilité d'un schéma.

## Cours 6 :

- Résolution d'un problème 1D instationnaire,
- Résolution avec schéma explicite ou implicite.

## Cours 7 :

- Passage au 2D,
- Numérotation par blocs,
- Programmation en matrices creuses.

## Cours 8 :

Méthodes d'optimisation numérique.

# Résumé des modalités d'évaluation

Comptes-rendus  
de TP

Questions de cours  
(oral)

Questions sur les TPs  
(oral)

# Plan de l'UE

## Idée générale :

Au premier semestre, on va introduire les notions de base, et s'intéresser en détails à une méthode numérique précise

Tous les jeudi matin (8h45-12h45) au bâtiment 625

21 Novembre : Cours 1 + Cours 2

4 Décembre : Cours 3 + TP

5 Décembre : Cours 4 + TP

12 Décembre : Cours 5 + TP

19 Décembre : Cours 6 + TP

9 Janvier : Cours 7 + TP

16 Janvier : Cours 8 + **TP**

23 Janvier : TP

30 Janvier : Examen

→ À la fin de l'UE, vous serez capable de coder vous-mêmes un solveur pour une équation de type Navier-Stokes !